

# Vpliv postopka izdelave na mikrostukturo predzlitine Al-Ti-B

## The Influence of Manufacturing on the Microstructure of Al-Ti-B Alloy

Zupanič F.<sup>1</sup>, A. Križman, G. Lojen, T. Bončina, I. Anžel, Fakulteta za strojništvo Maribor S. Spaić, FNT, Oddelek za Montanistiko, Ljubljana

Raziskovali smo vpliv zaporedja dodajanja soli  $KBF_4$  in  $K_2TiF_6$  na mikrostrukturo predzlitin AlTi5B1, ki smo jih izdelali z redukcijo titana in bora iz  $KBF_4$  in  $K_2TiF_6$  pri  $750^\circ C$ . Ugotovili smo, da so razlike predvsem v velikosti in porazdelitvi faze  $(Al,Ti)B_2$ , morfologija in velikost delcev faze  $Al_3Ti$  pa je v vseh predzlitinah podobna. Najugodnejši pogoji za nastanek faz nastopajo pri sočasnem dodajanju nadstehiometrične mešanice soli  $KBF_4$  in  $K_2TiF_6$  v raztaljeni aluminiju.

**Ključne besede:** predzlitina Al-Ti-B, mikrostruktura, izdelava

The influence of the sequence of salts addition on the microstructure of AlTi5B1 master alloys, which were produced by the reduction of Ti and B containing salts  $KBF_4$  and  $K_2TiF_6$  at  $750^\circ C$ , has been investigated. It has been found out that important differences exist between size and distribution of  $(Al,Ti)B_2$  particles. The particles of  $Al_3Ti$  are similar in the size and the morphology in all master alloys. The best conditions for formation of phases exist, when an overstoichiometric mixture of  $KBF_4$  in  $K_2TiF_6$  is simultaneously added to aluminium melt.

**Key words:** Al-Ti-B master alloy, microstructure, manufacturing

### 1. Uvod

Ob dodatku titana in bora, običajno v obliki predzlitine Al-Ti-B, se zmanjša velikost kristalnih zrn v večini aluminijevih zlitin<sup>1</sup>. S tem se doseže izboljšanje mehanskih in nekaterih drugih lastnosti. Podrobnosti o izdelavi predzlitin Al-Ti-B niso znane, nekaj podatkov lahko dobimo iz strokovne literature in patentov<sup>2,3</sup>. Proizvajalci izdelujejo zlitino Al-Ti-B z redukcijo titana in bora s tekočim aluminijem iz soli  $K_2TiF_6$  in  $KBF_4$ . Pri redukciji nastanejo kot stranski produkt aluminijevi fluorati, ki predstavljajo obremenitev za okolje. Možno alternativo temu izdelavnemu postopku predstavlja izdelava zlitine Al-Ti-B v modificirani elektrolizni celici za pridobivanje aluminija, vendar se zaenkrat ta postopek še ne uporablja v industrijski proizvodnji<sup>4</sup>.

V delu smo raziskali vpliv zaporedja dodajanja soli  $K_2TiF_6$  ter  $KBF_4$  in časa zadrževanja zlitine v tekočem stanju na mikrostrukturo modifikacijske zlitine AlTi5B1. Predvsem smo raziskovali procese, ki vplivajo na nastanek, velikost in porazdelitev faz  $Al_3Ti$  in  $(Ti,Al)B_2$ . Praktična uporabnost izdelavnega postopka je omejena predvsem zaradi visokih cen fluoridov in delno zaradi slabega izkoristka bora.

### 2. Eksperimentalno delo

Zlitine Al-Ti-B smo izdelali z alumotermično redukcijo soli  $K_2TiF_6$  in  $KBF_4$  pri temperaturi  $750^\circ C$ . Taline med redukcijo nismo mešali. Količina dodanih soli je ustrezala 5 % Ti in 1 % B v zlitini. Pri preizkusih smo spreminali zaporedje dodajanja soli. V posameznih preizkusih smo odvzemali vzorce v časovnem zaporedju 5, 15, 30, 60 in 120 minut. Po stodvajsetih minutah smo s površine taline odstranili zreagirano sol. Talino smo zadrževali še nadaljnjih 35 minut pri  $750^\circ C$  in jo odlili v grafitno kokilo  $\varnothing 30 \times 50$  mm.

Izdelane zlitine smo metalografsko preiskali ter jih uporabili za preverjanje učinkovitosti zmanjševanja kristalnih zrn. Vzorce smo pripravili z običajnimi postopki metalografske analize ter jih opazovali na svetlobnem mikroskopu Neophot 21 in v rastrskem elektronskem mikroskopu (REM) JEOL JSM 840A v kombinaciji z EDS analizatorjem Link Analytical.

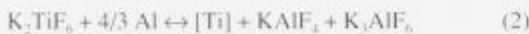
### 3. Rezultati in diskusija

Pri opisu procesov med redukcijo titana in bora iz soli  $KBF_4$  in  $K_2TiF_6$  lahko celoten sistem razdelimo v tri plasti. V vrhni plasti je raztopina fluoridnih soli. V sredji je reakcijska plast, to je aluminijeva talina, ki je obogatena s titanom in borom. V njej

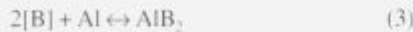
<sup>1</sup> mag. Franc ZUPANIČ, dipl. inž. met.  
Fakulteta za strojništvo  
Smetanova 17, 62000 Maribor

nastajajo delci  $\text{Al}_3\text{Ti}$  ter  $(\text{Ti},\text{Al})\text{B}_2$ . Na dnu je aluminijeva talina, ki se sčasoma bogati z zlitinskim elementoma borom in titanom, v njo se usedajo nastali delci.

Na stični površini raztaljene soli/reakcijska plast poteka redukcija:



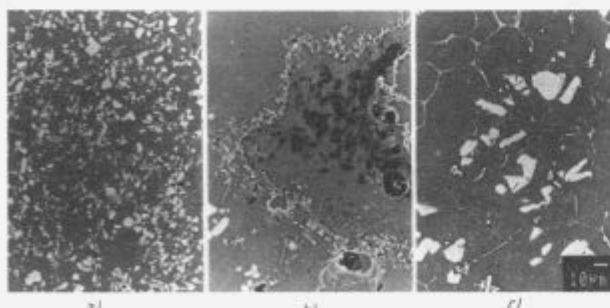
Ob redukciji titana (bora) narašča koncentracija titana (bora) v reakcijski plasti do meje topnosti, ki je podana z ustreznimi faznimi diagrami Al-B, Al-Ti in Al-Ti-B. Potem ko njuna koncentracija preseže mejo topnosti, nastanejo termodinamski pogoji za potek naslednjih reakcij:



Reakcije 1 do 6 so močno eksotermne, zato temperatura v reakcijski plasti naraste na 900-1200°C, čeprav je temperatura osnovne taline le 750°C<sup>5</sup>. Vrste in količine faz, ki se tvorijo v reakcijski plasti, so odvisne od dejanske koncentracije titana in bora v njej ter od temperature reakcijske plasti. Koncentraciji titana in bora ter temperaturo reakcijske plasti so odvisne od zaporedja in dinamike dodajanja soli, začetne temperature taline, prisilne konvekcije v talini itd., ki vplivajo na kinetiko reakcij 1-6.

### 3.1 Dodatek celotne količine $\text{K}_2\text{TiF}_6$ pred dodatkom $\text{KBF}_4$

Najprej se reducira titan in nastajajo delci  $\text{Al}_3\text{Ti}$ . Pet minut po začetku dodajanja je v talini veliko enakomerno porazdeljenih delcev  $\text{Al}_3\text{Ti}$ . Delci so v glavnem manjši od 4 µm, redki pa dosežejo velikost 10 µm (sl. 1 a). Po dodatu  $\text{KBF}_4$  se prične reducirati še bor. Reakcijska plast se obogati z borom. Med reakcijsko plasto in s-titanom bogato talino nastane trdna in homogena plast  $(\text{Ti},\text{Al})\text{B}_2$ , ki oteži nadaljnjo reakcijo (sl. 1 b). Hitrost nastajanja  $(\text{Ti},\text{Al})\text{B}_2$  je omejena s hitrostjo difuzije titana in bora skozi že nastalo plasti. Naravna konvekcija v talini delno razbijuje celotno plasti na manjša področja, ki pa so vsa obdana z lupino  $(\text{Ti},\text{Al})\text{B}_2$ . Znotraj lupine je koncentracija bora nad topnostjo pri 750°C. Zato znotraj lupine primarno kristalizira faza  $\text{AlB}_2$  (črna faza). Podobno mikrostrukturo so dosegli tudi Abdel-Hamid in sodelavec<sup>6</sup>, ki so mešali predzlitini  $\text{Al}-\text{Ti}$  in  $\text{Al}-\text{B}$ .



Slika 1: Mikrostruktura zlitine Al-Ti-B po dodatu celotne količine  $\text{K}_2\text{TiF}_6$  pred dodatkom  $\text{KBF}_4$  a) 5 min, b) 15 min, c) 155 min po začetku dodajanja soli (REM)

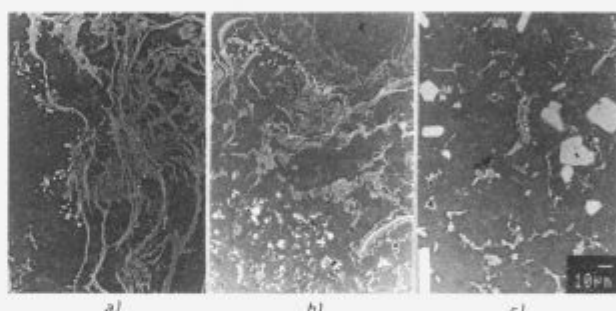
Figure 1: Microstructure of the Al-Ti-B alloy after addition of  $\text{K}_2\text{TiF}_6$  before  $\text{KBF}_4$ ; a) 5 min, b) 15 min, c) 155 min after the beginning of salts addition

Nehomogenosti, ki nastanejo v začetni stopnji izdelave te zlitine, ne izginejo tudi po dolgotrajnem zadrževanju zlitine v tekočem stanju.

V preostali talini je precej manj faze  $(\text{Ti},\text{Al})\text{B}_2$ , velikost delcev  $\text{Al}_3\text{Ti}$ , ki rastejo po mehanizmu Ostwaldovega zorenja in s koalesenco (zdrževanjem), narašča s časom zadrževanja v talini (sl. 1 c).

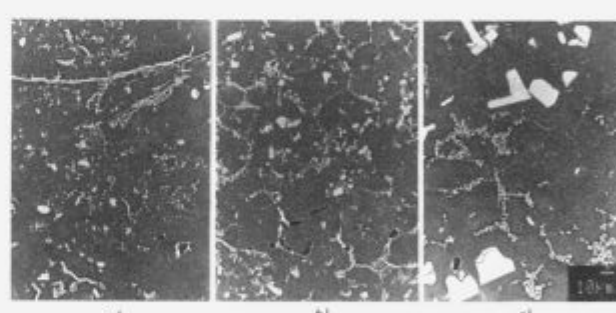
### 3.2 Dodatek $\text{KBF}_4$ in $\text{K}_2\text{TiF}_6$ ( $\text{Ti}:B = 1,1:1$ ), nato preostali $\text{K}_2\text{TiF}_6$

Ob dodajanju mešanice  $\text{KBF}_4$  in  $\text{K}_2\text{TiF}_6$  je razmerje med titanom in borom podstehiometrično, zato nastaja le faza  $(\text{Ti},\text{Al})\text{B}_2$ . Le-ta raste v plasteh, pri čemer je smer [0001] vzporodna z mejo sol/reakcijska plast (sl. 2 a). Ob dodatku preostale soli  $\text{K}_2\text{TiF}_6$  se tvorijo tudi delci  $\text{Al}_3\text{Ti}$  (sl. 2 b), ki pri nadalnjem zadrževanju zlitine v tekočem stanju rastejo, medtem ko se plasti  $(\text{Ti},\text{Al})\text{B}_2$  le počasi razkrajajo (sl. 2 c).



Slika 2: Mikrostruktura zlitine Al-Ti-B po dodatu zmesi  $\text{K}_2\text{TiF}_6$  in  $\text{KBF}_4$  ( $\text{Ti}:B = 1,1:1$ ) pred dodatkom preostale soli  $\text{K}_2\text{TiF}_6$ ; a) 5 minut, b) 15 minut, c) 155 minut po začetku dodajanja soli (REM)

Figure 2: Microstructure of the Al-Ti-B alloy after the addition of salts mixture  $\text{K}_2\text{TiF}_6$  and  $\text{KBF}_4$  ( $\text{Ti}:B = 1,1:1$ ) before the remaining  $\text{K}_2\text{TiF}_6$ ; a) 5 min, b) 15 min, c) 155 min after the beginning of salts addition

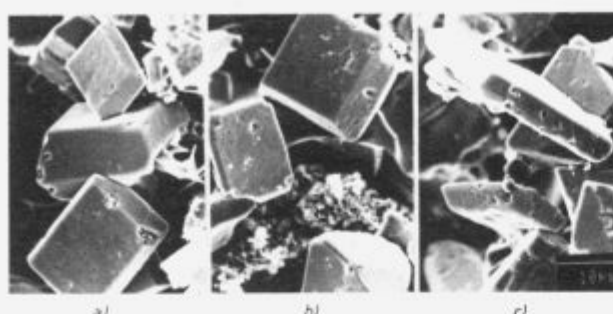


Slika 3: Mikrostruktura zlitine Al-Ti-B po sočasnem dodatu celotne količine  $\text{K}_2\text{TiF}_6$  in  $\text{KBF}_4$  a) 5 minut, b) 15 minut, c) 155 minut po začetku dodajanja soli (REM)

Figure 3: Microstructure of the Al-Ti-B alloy after the simultaneous addition of the mixture of  $\text{K}_2\text{TiF}_6$  and  $\text{KBF}_4$  ( $\text{Ti}:B = 5:1$ ) salts; a) 5 min, b) 15 min, c) 155 min after the beginning of salts addition

### 3.3 Dodatek mešanice $\text{KBF}_4$ in $\text{K}_2\text{TiF}_6$ ( $\text{Ti}:B = 5:1$ )

Ob tem dodatu sočasno nastajajo delci  $\text{Al}_3\text{Ti}$  in  $(\text{Ti},\text{Al})\text{B}_2$ . Presežek titana v reakcijski plasti preprečuje nastanek trdnih plasti  $(\text{Ti},\text{Al})\text{B}_2$  (sl. 3 a). Po petnajstih minutah (sl. 3 b) se poveča delež faze  $\text{Al}_3\text{Ti}$ , prav tako pa tudi njihova velikost. Pri nadalnjem zadrževanju zlitine v tekočem stanju se velikost delcev  $\text{Al}_3\text{Ti}$  še naprej povečuje, medtem ko plasti  $(\text{Ti},\text{Al})\text{B}_2$  skoraj popolnoma razpadajo na posamezne delce, ki so veliki ~1 µm.



**Slika 4:** Morfologija delcev  $\text{Al}_3\text{Ti}$  v izdelanih zlitinah AlTi5B1 po 155 minutah zadrževanja v tekočem stanju a) dodatek celotne količine  $\text{K}_2\text{TiF}_6$ , pred dodatkom  $\text{KBF}_4$ , b) dodatek  $\text{K}_2\text{TiF}_6 + \text{KBF}_4$  ( $\text{Ti:B} = 1:1:1$ ) pred dodatkom preostalega  $\text{K}_2\text{TiF}_6$ , c) sočasen dodatek  $\text{K}_2\text{TiF}_6 + \text{KBF}_4$  ( $\text{Ti:B} = 5:1$ ) (REM, globoko jedkanje)

**Figure 4:** Morphology of  $\text{Al}_3\text{Ti}$ -particles in AlTi5B1-alloys after 155 minutes holding time: a) addition of the total amount of  $\text{K}_2\text{TiF}_6$ , then  $\text{KBF}_4$ , b) addition of  $\text{K}_2\text{TiF}_6 + \text{KBF}_4$  ( $\text{Ti:B} = 1:1:1$ ), then of the remaining  $\text{K}_2\text{TiF}_6$ , c) simultaneous addition of  $\text{K}_2\text{TiF}_6 + \text{KBF}_4$  ( $\text{Ti:B} = 5:1$ ), (REM, deep etching)

Velikost in oblika delcev  $\text{Al}_3\text{Ti}$  je v vseh zlitinah podobna (sl. 4). Delci  $\text{Al}_3\text{Ti}$  so fasetirani, obdani z ravninami (110) in (001). V zlitini, kjer smo sočasno dodali obe soli, so delci  $\text{Al}_3\text{Ti}$  bolj ploščati. Izdelane zlitine AlTi5B1 se najbolj razlikujejo v velikosti in obliki delcev  $(\text{Ti}, \text{Al})\text{B}_2$ . Razlike izvirajo iz neenakih pogojev za nastanek delcev  $(\text{Ti}, \text{Al})\text{B}_2$  v reakcijski plasti, ki jih povzroči različno zaporedje dodajanja soli. Najugodnejša porazdelitev in velikost delcev  $(\text{Ti}, \text{Al})\text{B}_2$  nastane ob sočasnem dodajanju soli  $\text{KBF}_4$  in  $\text{K}_2\text{TiF}_6$  ( $\text{Ti:B} = 5:1$ ), v ostalih primerih pa je faza  $(\text{Ti}, \text{Al})\text{B}_2$  groba.

#### 3.4 Preizkus učinkovitosti izdelanih predzlitin

Rezultati preizkusov so podani v tabeli 1. Iz njih je razvidno, da so velikosti kristalnih zrn, ki jih dosežemo ob dodatu lastnih predzlitin, podobne velikostim kristalnih zrn ob dodatu komercialne predzlitine.

**Tabela 1:** Velikosti kristalnih zrn po dodatu 0.1 % AlTi5B1 zlitini AL-Cu-Pb-Bi pri 800°C. Kontaktni čas 10 minut

predzlitina	komercialna	ČET	PET	SOB
čas zadrževanja (min)	15 155	15 155	15 155	15 155
velikost zrn ( $\mu\text{m}$ )	180	195 248	200 190 550	200

#### 4. Zaključki

Pri raziskavi zaporedja dodajanja soli  $\text{KBF}_4$  ter  $\text{K}_2\text{TiF}_6$  in časa zadrževanja zlitine v tekočem stanju na mikrostrukturo zlitine AlTi5B1 smo ugotovili, da ima zaporedje dodajanja soli največji vpliv na velikost in porazdelitev delcev faze  $(\text{Ti}, \text{Al})\text{B}_2$ . Najbolj drobni in enakomerno porazdeljeni delci  $(\text{Ti}, \text{Al})\text{B}_2$  nastanejo ob sočasnem dodajanju soli  $\text{KBF}_4$  in  $\text{K}_2\text{TiF}_6$ , pri razmerju  $\text{Ti:B} = 5:1$ . V ostalih primerih nastanejo velike in trdne plasti  $(\text{Ti}, \text{Al})\text{B}_2$ , ki se ne razkrojijo tudi po daljšem zadrževanju zlitine v tekočem stanju. Morfologija faze  $\text{Al}_3\text{Ti}$  je v vseh primerih podobna, velikost delcev  $\text{Al}_3\text{Ti}$  pa narašča med zadrževanjem zlitine v tekočem stanju.

Učinkovitost lastnih predzlitin Al-Ti-B izdelanih na zgoraj opisane načine se praktično ne razlikuje od učinkovitosti referenčne modifikacijske zlitine AlTi5B1 firme Kawecki Billiton.

#### 5. Literatura

- D. G. McCartney: Grain refining of aluminium and its alloys using inoculants. International Materials Review, 34, 1989, 247-250
- M. S. Lee, B. S. Terry: Effects of processing parameters on aluminide morphology in aluminium grain refining master alloys. Materials Science and Technology, 7, 1991, 608-612
- M. M. Guzowski, D. A. Sentner, G. K. Sigworth: UK Patent Application GB, 2 162 540 A, 1986
- K. Grøtheim, H. Kwande, Y. Yue: Preparation of aluminium master alloys by electrolysis in molten cryolite. Aluminium, 66, 1990, 560-564
- M. Vader, J. Noordegraaf: The new approach to grain refining. Light metals, 1988, 937-941
- A. Abdel-Hamid, F. Durand, S. Hamar-Thibault: Nature and morphologie des cristaux en Ti en B dans les alliages Al-Ti-B riches en Al. Journal of Crystal Growth, 66, 1984, 195-204